

多目的メッシュ配分モデルを用いた海域利用計画

愛媛大学 正 柏谷 増男

1.はじめに

海域利用計画を必要とされる活動配分モデルは、一般に大規模な非線形多目的計画モデルとなる。このようなモデルを解くことは事実上不可能であり、通常はシミュレーションモデルが用いられる。筆者は、これまでに、その際に中心的な役割を果たす多目的メッシュ配分モデルの研究を行なってきた。⁽¹⁾⁽²⁾本研究は、多目的メッシュ配分モデルを大阪湾を対象とした海域利用計画に適用することを試みたものである。

2.代替案作製のためのシミュレーションモデル

(2.1) 大阪湾海域利用計画の概要

この計画は、淡路島の海岸を除く大阪湾全域にわたって種々の活動を配分するものである。配分対象となる活動は、非基幹工業、港湾、住宅、公園・緑地、海水浴場・保全、マリーナ、プレジャー・ボート海域などであり、配分対象とはならないが考慮される活動として航路と漁業(回遊性、底曳き性)とが取り扱われる。これらの活動の相互関係は大きく2つに分けられる。そのひとつは海域汚染に関するものであり、非基幹工業、住宅、公園・緑地、海水浴場、保全、漁業がかかるのである。他のひとつは水域競合に関するものであり、港湾、マリーナ、プレジャー・ボート海域、航路がかかるのである。活動配分計画はこの2つの相互関係を軸にして展開されるが、ここでは海域汚染に関する相互関係に注目し、それにかかわる活動の配分計画について述べることとする。

(2.2) シミュレーションモデルの考え方

海域および沿岸地域をメッシュに区切り、各地区を添字 i または j で表す。各活動は添字 k で表され、 $k=1$ は非基幹工業、 $k=2$ は住宅、 $k=3$ は公園・緑地、 $k=4$ は海水浴場、 $k=5$ は保全、 $k=6$ は回遊魚漁場、 $k=7$ は底曳き魚漁場を示している。ここで、非基幹工業は海域汚染によって他の活動の立地に悪影響を及ぼすが、他の活動については特別な相互関係はないものとする。したがって、非基幹工業をどのように配分するかが、配

分計画の中心的な課題となる。

(2.3) 多目的メッシュ配分モデル

地区 i の非基幹工業が地区 i に与える海域汚染影響度を d_{ij} とし、地区 i での活動 k の適地度を示すポテンシャル値を C_{ik} とする。地区 i での非基幹工業の配分量を x_{ik} と表わし、1地区 i の上限値を U_i とする。各活動 k へのウェイトパラメータを α_k とすると、非基幹工業の多目的メッシュ配分モデルは以下のようにならべられる。

$$\max \sum_i \left\{ \alpha_k C_{ik} - \sum_{k=2}^7 \alpha_k (\sum_{j \in L_k} d_{ij} C_{ij}) \right\} x_{ik} \quad \dots (1)$$

$$s.t. \sum_k x_{ik} = U_i \quad \dots (2) \quad 0 \leq x_{ik} \leq 1 \quad \dots (3) \quad 0 \leq x_{ik} \leq U_i \quad \dots (4)$$

ここで L_k は、活動 k が配分されると考えられる地区的集合で、候補地集合と呼ぶ。なお、 L_k はモデル作製に先立って決められていくものとする。

(2.4) 代替案の作成手順

図-1は、代替案の作成手順を示したものである。

まず、ポテンシャル分析により、ポテンシャル値の高い地区を選んで候補地集合を作る。また、既定計画ご配分が決められていく場合には、その地区を対応する活動の候補地集合に入れる。一方、大阪湾流域シミュレーションの結果を用いて d_{ij} の値を算出する。

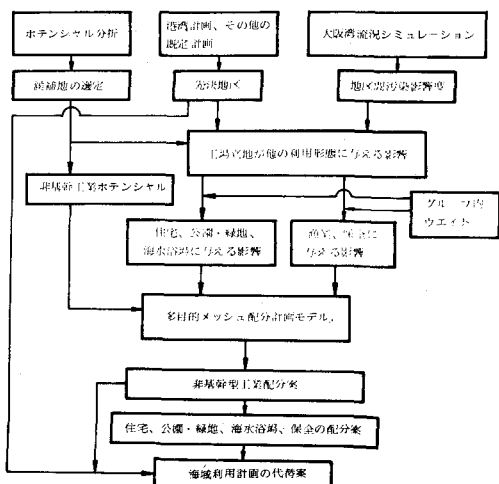


図-1 代替案の作成手順

式(1)～(4)に示した多目的メッシュ配分モデルは、 K が3の候補地群に3以下の場合には図解法で解くことができる。そこで、属す候補地に非 $K=2, 3, 4$ をひとつつの活動群とし、 $K=5, 6, 7$ を他のひ基幹工業が分配とつの活動群とする。各活動の活動群内での相対的ウェイトを w^k として与え、活動群間、もしくは活動群と非基幹工業との関係についてのウェイトパラメーターを式で表わす。 λ' を非基幹工業の、 λ を前者の活動群の、また λ^3 パレート最適解を後者の活動群のウェイトパラメーターとそれぞれ定めると対応している。式(1)～(4)に示したモデルは、以下のようになる。

$$\max \sum_i (\lambda' C_i - \lambda^2 \sum_j d_{ij} g_j^2 - \lambda^3 \sum_j d_{ij} g_j^3) x_i \quad \dots (5)$$

$$\text{s.t. } \sum_i x_i = 1 \quad \dots (6) \quad 0 \leq x_i \leq 1 \quad \dots (7) \quad 0 \leq x_i \leq 1 \quad \dots (8)$$

$$g_j^2 = \sum_{k=2}^7 w^k C_j^k \quad \dots (9) \quad g_j^3 = \sum_{k=5}^7 w^k C_j^k \quad \dots (10)$$

このモデルのすべてのパレート最適解は図解法で求め採用した。図-4 られ、それらの相対的な関係は図上で容易に理解するこ^{5, 6}はそれがされることはできる。そこで、意思決定者との協議のうえで非基幹工業の配分代替案をいくつか選ぶ。その後、各活動の対応する海域利用ボテシャル値に応じて他の活動の配分を行ない、非基幹工業の配分案をあわせることによって海域利用計画のある。

代替案を得ることができる。

3. 試算の結果

非基幹工業の候補地は全部で26であり、これらを目的に作製でき、各関数の係数の特性により、26の候補地群にまとめ、それ代替案の相対的^うをあうため変数とした。図-2は非基幹工業の候補な関係を容易に知りうる点で、この方法は有効と思われる地の位置と候補地群の名称とを示したもので、群の名称は英字で示されている。図-3は、式(5)～(10)に示した支障がないことであった。これらの点からみて、このモデルを解いたときの入空間の分割図を示したものである。方法は実用性を十分有していると思われる。ただし、候^る。図中の英字は候補地群に対応し、より直線より原点補地集合の基準と解との関係についてはモデルの構造上側の領域の $\lambda=(\lambda', \lambda^2, \lambda^3)$ の値のもとでのモデルの解とはの問題点があり、今後の課題としている。

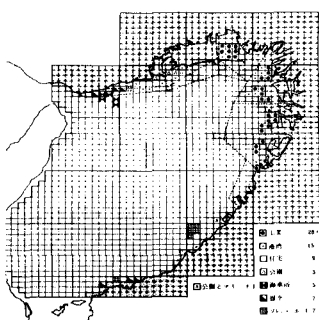


図-4 海域利用計画代替案(1)

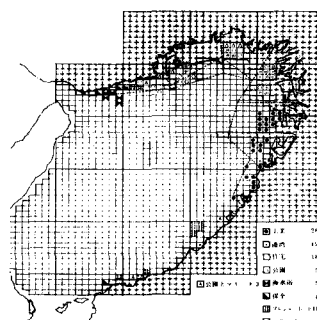


図-5 海域利用計画代替案(2)

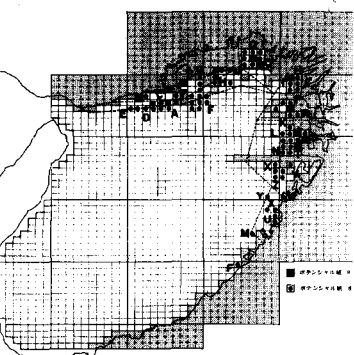


図-2 非基幹工業の候補地

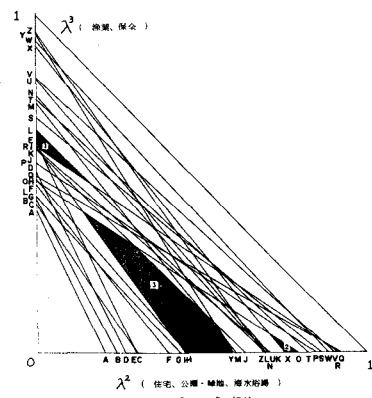


図-3 スペースの分割

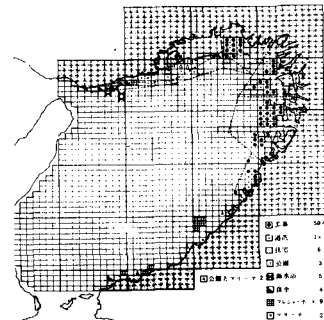


図-6 海域利用計画代替案(3)

参考文献

- 1)柏谷 増男，“総合化ボテンシャルを用いた多目的メッシュ配分モデル”，第24回年講，1979, PP226～227.
- 2)柏谷 増男，“多目的活動配分モデルに関する研究”，愛媛大学紀要 第三部 Vol.9, No.3, 1980, PP349～362.
- 3)重慶省第三港務監理局，大阪港海事局，通正利用計画開発報告書，1979.